

Wydział MINI	Dzień/godz Data	Środa 14.15 16.04.2025r.	Nr zespołu 4
Nazwisko i Imię 1. Przeździecka Alicja 2. Skoczyła Katarzyna 3. Zieliński Miłosz	Ocena z przygotowania	Ocena z sprawozdania	Ocena końcowa
Prowadzący		Podpis	

## Wyznaczenie współczynnika lepkości cieczy

### 1 Cel ćwiczenia

Celem ćwiczenia jest wyznaczenie dynamicznego współczynnika lepkości cieczy oraz czasu relaksacji na podstawie obserwacji ruchu swobodnie spadających kulek w dwóch cieczach: glicerynie i oleju silnikowym.

### 2 Wstęp

Lepkość jest właściwością płynów, określającą ich zdolność do stawiania oporu przy wzajemnym przemieszczaniu się warstw płynu względem siebie [1]. Im większa lepkość, tym większy opór podczas przepływu. Jednostką dynamicznego współczynnika lepkości jest  $\text{Pa} \cdot \text{s}$  lub  $\frac{\text{N} \cdot \text{s}}{\text{m}^2}$ .

Wszystkie oznaczenia są spójne dla wszystkich wzorów. Siła lepkości działająca na płytę spadającą w naczyniu może być wyrażona przy pomocy wzoru:

$$F = -\eta S \frac{\partial v_x}{\partial z} = -\eta S \frac{v}{h}, \quad (1)$$

gdzie znak minus oznacza, że siła działa przeciwnie do kierunku ruchu, współczynnik  $\eta$  oznacza dynamiczną lepkość płynu,  $S$  to powierzchnia płyty,  $h$  to wysokość naczynia, a  $v$  to prędkość z jaką porusza się płytka.

Aby scharakteryzować przepływ, wprowadza się liczbę Reynoldsa:

$$\text{Re} = \frac{\rho v l}{\eta}, \quad (2)$$

gdzie  $\rho$  jest gęstością cieczy,  $v$  prędkością, a  $l$  parametr liniowy, który w przypadku kuli wynosi  $l = r$ . Przy małych wartościach  $\text{Re}$  przepływ jest laminarny (uporządkowany), natomiast przy dużych wartościach staje się turbulentny.

W celu wyznaczenia lepkości cieczy, analizujemy jednak ruch małej kulki o promieniu  $r$ , masie  $m_k$  i gęstości  $\rho_k$  spadającej w cieczy o gęstości  $\rho_c$ . Kulka porusza się w cylindrze z cieczą z prędkością równą  $v_{gr}$ , przy zachowaniu warunków przepływu laminarnego, ponieważ wartość  $\text{Re}$  jest mała.

Na kulkę poruszającą się w płynie (przy małej wartości współczynnika  $\text{Re}$ ) działa siła oporu zwana siłą Stokesa, którą dla kuli można wyliczyć ze wzoru [2]:

$$F_S = -6\pi\eta v_{gr} r \quad (3)$$

Uwzględniając tę siłę, jak i siłę ciężkości  $Q = m_k g$  oraz siłę wyporu  $F_w = \frac{4}{3}\pi r^3 \rho_c g$  możemy policzyć siłę wypadkową:  $\vec{F} = \vec{Q} + \vec{F}_w + \vec{F}_S$ . Na podstawie tego wzoru, zgodnie z drugą zasadą dynamiki, równanie ruchu kulki można przedstawić w postaci:

$$m_k \frac{dv}{dt} = Q - F_w - F_S \quad (4)$$

Kulka w cieczy porusza się ruchem przyspieszonym jednak, siła oporu rośnie wraz z prędkością i "hamuje" dalszy wzrost prędkości, aż kulka osiągnie prędkość graniczną (można przyjąć, że zmiana prędkości będzie mniejsza od błędu wyznaczonej prędkości). W stanie, gdy siły się równoważą, a przyspieszenie kulki zmaleje do 0, porusza się ona z prędkością graniczną, którą można wyliczyć ze wzoru:

$$v_{gr} = \frac{2}{9} \frac{r^2(\rho_k - \rho_c)g}{\eta} \quad (5)$$

W przypadku ograniczonej objętości naczynia (cylinder o promieniu  $R$ ) należy uwzględnić poprawki na obecność ścianek (poprawki związane z wysokością cylindra są zanedbywalne), dlatego wzór na  $v_{gr}$  wynosi :

$$v_{gr} = \frac{2}{9} \frac{r^2(\rho_k - \rho_c)g}{\eta(1 + 2,1 \frac{r}{R})} \quad (6)$$

Współczynnik  $\eta$  można uzyskać odpowiednio przekształcając wzór (6).

$$\eta = \frac{2}{9} \frac{r^2(\rho_k - \rho_c)g}{v_{gr}(1 + 2,1 \frac{r}{R})} \quad (7)$$

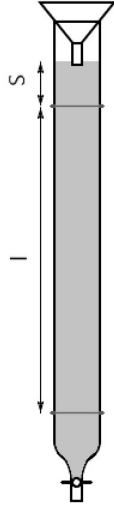
Wartość  $v_{gr}$  uzyskać można przy zastosowaniu metody najmniejszych kwadratów (MNK) dla uzyskanych pomiarów.

$$s = at + b, \quad (8)$$

gdzie  $s$  to odcinek na jakim mierzyliśmy czas opadania kulki, a  $t$  to czas opadania na tym odcinku. Mając wzór w takiej formie można skorzystać z MNK, a  $a = v_{gr}$  jest szukanym współczynnikiem nachylenia prostej,  $b$  jest odległością, która związana jest z tym, że kulka przyspiesza, więc początkowy odcinek jest pokonywany w dłuższym czasie. Czas ten, do momentu w którym siły działające na kulkę się nie zrównoważą i osiągnięta zostanie  $v_{gr}$  nazywany jest czasem relaksacji. Oznaczamy go przez  $\tau$  i wyznaczamy korzystając ze wzoru:

$$\tau = \frac{m_k}{6\pi\eta r} \quad (9)$$

### 3 Układ pomiarowy



Rysunek 1: Cylinder z cieczą

Układ pomiarowy, mający na celu wyznaczenie czasu spadania kulek w cieczach, składał się z cylindra wypełnionego cieczą, lejka na górze cylindra, który umożliwia wrzucanie tam kulki na osi zbiornika, kranika na umożliwiającego usunięcie kulek ze zbiornika i dwóch ruchomych znaczników na miarce cylindra (A i B). Przedstawiony on jest na Rysunku 1. Dla każdego z 10 pomiarów w obu cieczach zmieniany był dystans na którym mierzono czas w którym kulka go pokonała. Początkowy dystans  $L$  wynosił 120 cm i był zmniejszany o 10 cm w każdym kolejnym pomiarze poprzez obniżanie znacznika A. Znacznik A był ustawiony w taki sposób, że na odcinku  $L$  kulka zawsze porszała się z prędkością graniczną. Jednak całkowity przyjmowany dystans pokonany przez kulkę wynosił  $H = L + S$ . Do wyznaczenia masy 10 kulek użyta była waga jubilerska, a do pomiaru średnicy każdej z nich śruba mikrometryczna.

## 4 Dane eksperymentalne

Pomiar masy 10 kulek wyniósł  $m_{10} = 1,13$  g.

Temperatura otoczenia podczas pomiarów:  $T = 20^\circ\text{C}$ .

Średnice wewnętrzne rur dla obu substancji:  $D = 40,0(3)$  mm.

Gęstości cieczy:

- Gliceryna:  $\rho_g = 1,261$  g/cm<sup>3</sup>,
- Olej silnikowy:  $\rho_o = 0,867$  g/cm<sup>3</sup>.

Nr pomiaru	$d$ [mm]
1	3,00
2	3,02
3	2,99
4	2,99
5	2,98
6	3,00
7	2,99
8	3,00
9	3,00
10	2,99

Tabela 1: Wyniki pomiarów średnicy 10 kulek.

Nr pomiaru	Czas [s] — Gliceryna	Czas [s] — Olej silnikowy	Droga [cm]
1	33,19	9,85	120
2	31,38	9,16	110
3	29,40	8,47	100
4	26,87	7,59	90
5	24,66	6,87	80
6	22,09	5,88	70
7	19,22	5,13	60
8	16,31	4,31	50
9	13,06	3,53	40
10	10,06	2,44	30

Tabela 2: Pomiary czasu spadku kulki w glicerynie i oleju silnikowym dla różnych długości drogi.

## 5 Opracowanie pomiarów oraz analiza niepewności pomiarów

### 5.1 Wyznaczenie gęstości kulki

Na początku doświadczenia zajęliśmy się wyznaczeniem gęstości kulek. W tym celu dokonaliśmy pomiarów masy 10 kulek, aby pomiar był dokładniejszy. Obliczyliśmy niepewność typu B

$$u(m_{10}) = \frac{\Delta m}{\sqrt{3}} = 0,0058g, \quad (10)$$

gdzie  $\Delta m = 0,01g$ .

Następnie masę 10 kulek oraz niepewność dla tego pomiaru podzieliśmy przez 10, stąd masa jednej kulki wynosiła:

$$m = \frac{m_{10}}{10} = 0,1130(29)g. \quad (11)$$

Aby wyznaczyć średnicę kulki, obliczyliśmy średnią z wykonanych 10 pomiarów i otrzymaliśmy następujący wynik

$$\bar{d} = 2,996mm. \quad (12)$$

Wyznaczona średnica była obarczona niepewnościami zarówno typu A i B

$$u(\bar{d}) = \sqrt{u_A^2 + u_B^2} = \sqrt{S_d^2 + \frac{(\Delta d)^2}{3}} = 0,0067, \quad (13)$$

gdzie  $S_d = \sqrt{\frac{\sum_{i=1}^n (d_i - \bar{d})^2}{n(n-1)}}$ ,  $\Delta d = 0,01mm$ .

Mamy więc

$$\bar{d} = 2,9960(67)mm \quad (14)$$

W celu obliczenia promienia wartość średnicy oraz jej niepewności podzieliśmy przez 2. Stąd promień to

$$r = \frac{\bar{d}}{2} = 1,4980(33)mm \quad (15)$$

Gęstość kulki można obliczyć ze wzoru

$$\rho = \frac{m}{V} = \frac{3m}{4\pi r^3}. \quad (16)$$

Do wyznaczenia niepewności gęstości posłużyliśmy się metodą propagacji niepewności

$$u(\rho) = u(\rho) = \sqrt{\left(\frac{\partial \rho}{\partial m} u(m)\right)^2 + \left(\frac{\partial \rho}{\partial r} u(r)\right)^2} = \sqrt{\left(\frac{3}{4\pi r^3} u(m)\right)^2 + \left(\frac{9m}{4\pi r^4} u(r)\right)^2}. \quad (17)$$

Gęstość kulki wraz z niepewnością wyniosła

$$\rho = 8,03(21) \frac{g}{cm^3}. \quad (18)$$

## 5.2 Wyznaczenie prędkości granicznej

Niepewności drogi pokonanej przez spadającą kulkę oraz czasu jej spadania obliczyliśmy w następujący sposób

$$u(s) = \frac{2\Delta s}{\sqrt{3}} = 0,12cm, \quad (19)$$

gdzie  $\Delta s = 0,1$  cm, a mnożenie przez 2 wynika z odczytu położenia początkowego i końcowego znacznika,

$$u(t) = \sqrt{\frac{\Delta t^2}{3} + \frac{\Delta t_E^2}{3}} = 0,24s, \quad (20)$$

gdzie  $\Delta t = 0,01$  s,  $\Delta t_E = \sqrt{0,2^2 + 0,3^2 + 0,2^2} = 0,41s$  – obliczone jako suma niepewności związanych z włączeniem, wyłączeniem stopera oraz czasem reakcji mięśni.

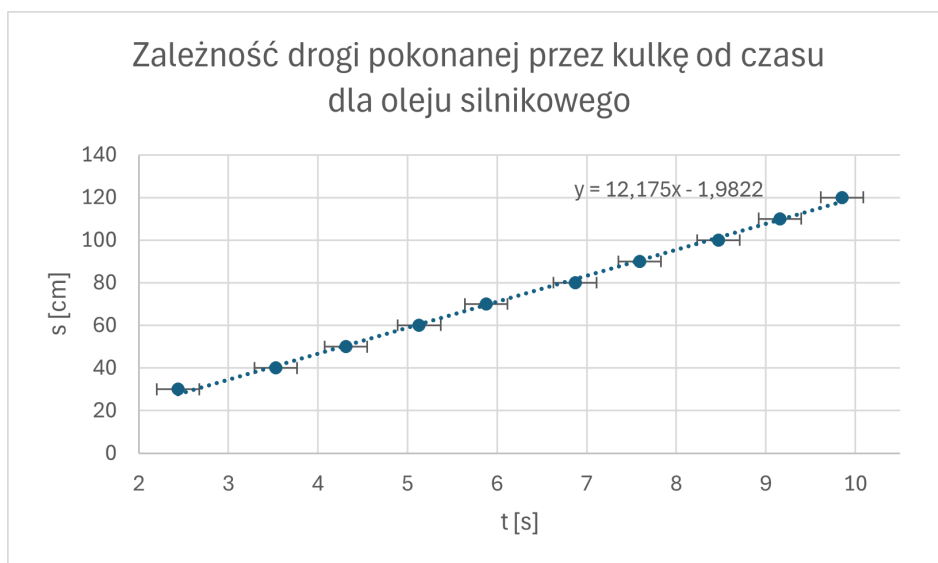
Niepewność drogi jest bardzo mała, dlatego jest ona niewidoczna na wykresach znajdujących się poniżej (Rysunek 2 oraz 3).

Korzystając z metody najmniejszych kwadratów oraz funkcji REGLINP w programie Excel, dopasowaliśmy prostą regresji liniowej do danych pomiarowych (Rysunek 2 oraz 3) zgodnie ze wzorem (8).

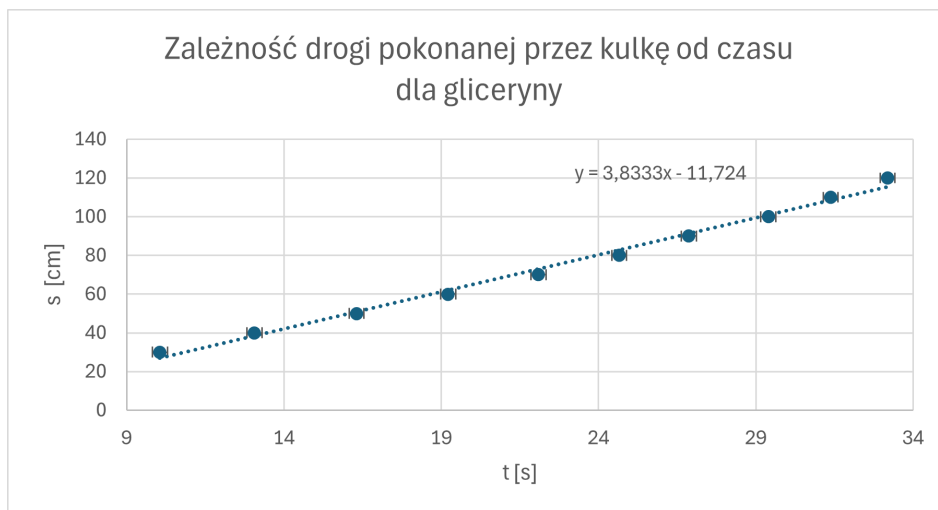
Współczynniki kierunkowe  $a$  tych prostych — czyli szukane przez nas prędkości graniczne — oraz  $b$  - drogi początkowe  $S_0$  - wyniosły:

- dla gliceryny:  
 $v_{gr} = 3,83(11) \frac{cm}{s} = 0,0383(11) \frac{m}{s}$ ,  
 $S_0 = -1,98(1,26)cm$ ,
- dla oleju silnikowego:  
 $v_{gr} = 12,17(19) \frac{cm}{s} = 0,1217(19) \frac{m}{s}$ ,  
 $S_0 = -11,72(2,73)cm$ .

Ujemne wartości  $S_0$  mogą wynikać z warunków przeprowadzania eksperymentu, które nie były w pełni zgodne z idealnym opisem matematycznym.



Rysunek 2: Wykres zależności drogi pokonanej przez kulkę od czasu dla oleju silnikowego.



Rysunek 3: Wykres zależności drogi pokonanej przez kulkę od czasu dla gliceryny.

### 5.3 Wyznaczenie lepkości

Lepkość możemy obliczyć ze wzoru (7).

Korzystając z metody propagacji niepewności dla funkcji wielu zmiennych, mamy:

$$u(\eta) = \sqrt{\left(\frac{\partial \eta}{\partial r} u(r)\right)^2 + \left(\frac{\partial \eta}{\partial v_{gr}} u(v_{gr})\right)^2 + \left(\frac{\partial \eta}{\partial \rho_k} u(\rho_k)\right)^2 + \left(\frac{\partial \eta}{\partial \rho_c} u(\rho_c)\right)^2 + \left(\frac{\partial \eta}{\partial R} u(R)\right)^2}. \quad (21)$$

Co po rozwiązaniu pochodnych i zaniedbaniu niepewności gęstości cieczy daje

$$u(\eta) = \left\{ \left[ \frac{4g(\rho_k - \rho_c)r}{9v_{gr}} \left( \frac{1}{1 + 2,4\frac{r}{R}} - \frac{1,2r}{R(1 + 2,4\frac{r}{R})^2} \right) u_r \right]^2 + \left[ \frac{4,8r^3g(\rho_k - \rho_c)}{9v_{gr}R^2(1 + 2,4\frac{r}{R})^2} u_R \right]^2 + \left[ \frac{2r^2g}{9v_{gr}(1 + 2,4\frac{r}{R})} u_{\rho_k} \right]^2 + \left[ \frac{2r^2g}{9v_{gr}^2(1 + 2,4\frac{r}{R})} u_{v_{gr}} \right]^2 \right\}^{1/2}. \quad (22)$$

Wyznaczone wartości lepkości dynamicznej  $\eta$  wraz z niepewnościami wyniosły:

- dla gliceryny:  $\eta = 0,732(35) Pa \cdot s$ ,
- dla oleju silnikowego:  $\eta = 0,2438(73) Pa \cdot s$ .

#### 5.4 Wyznaczenie czasu relaksacji

Ostatnim etapem ćwiczenia było wyznaczenie czasu relaksacji na podstawie wzoru (9) oraz niepewności z zasady propagacji. Przypomnijmy wcześniej wyliczone wartości promienia, gęstości kulki oraz współczynniki lepkości wraz z niepewnościami:

$$r = 1,4980 [mm] = 1,4980 \cdot 10^{-3} [m], \quad u(r) = 0,0033 [mm] = 3,3 \cdot 10^{-6} [m]$$

$$m_k = 0,1130 [g] = 1,130 \cdot 10^{-4} [kg], \quad u(m_k) = 0,0029 [g] = 2,9 \cdot 10^{-6} [kg]$$

$$\eta_g = 0,732 [Pa \cdot s], \quad u(\eta_g) = 0,035 [Pa \cdot s]$$

$$\eta_o = 0,2438 [Pa \cdot s], \quad u(\eta_o) = 0,0073 [Pa \cdot s]$$

Po podstawieniu do wzoru wartości w odpowiednich jednostkach otrzymujemy wynik w sekundach oraz czasy relaksacji dla obu rozważanych cieczy:

$$[\tau] = \frac{[m_k]}{6\pi[\eta][r]} = \frac{kg}{Pa \cdot s \cdot m} = s$$

$$\tau_g = \frac{m_k}{6\pi \cdot \eta_g \cdot r} = \frac{1,13 \cdot 10^{-4}}{6\pi \cdot 0,732 \cdot 1,4980 \cdot 10^{-3}} = 0,00546707 s = 5,46706737 ms$$

$$\tau_o = \frac{m_k}{6\pi \cdot \eta_o \cdot r} = \frac{1,13 \cdot 10^{-4}}{6\pi \cdot 0,2438 \cdot 1,4980 \cdot 10^{-3}} = 0,01641466 s = 16,41465676 ms$$

Następnie wyliczyliśmy niepewności z zasady propagacji niepewności zapisanej poniższym wzorem:

$$u(\tau) = \sqrt{\left( \frac{\partial \tau}{\partial m_k} \cdot u(m_k) \right)^2 + \left( \frac{\partial \tau}{\partial \eta} \cdot u(\eta) \right)^2 + \left( \frac{\partial \tau}{\partial r} \cdot u(r) \right)^2}$$

Kolejne pochodne cząstkowe wynoszą:

$$\begin{aligned} \frac{\partial \tau}{\partial m_k} &= \frac{1}{6\pi \cdot \eta \cdot r} \\ \frac{\partial \tau}{\partial \eta} &= -\frac{m_k}{6\pi \cdot \eta^2 \cdot r} \\ \frac{\partial \tau}{\partial r} &= -\frac{m_k}{6\pi \cdot \eta \cdot r^2} \end{aligned}$$

Po podstawieniu pochodnych otrzymujemy:

$$u(\tau) = \sqrt{\left(\frac{1}{6\pi \cdot \eta \cdot r} \cdot u(m_k)\right)^2 + \left(\frac{m_k}{6\pi \cdot \eta^2 \cdot r} \cdot u(\eta)\right)^2 + \left(\frac{m_k}{6\pi \cdot \eta \cdot r^2} \cdot u(r)\right)^2}$$

Obliczamy niepewności czasu relaksacji dla obu cieczy.

$$u(\tau_g) = \sqrt{\left(\frac{2,9 \cdot 10^{-7}}{6\pi \cdot 0,732 \cdot 1,4980 \cdot 10^{-3}}\right)^2 + \left(\frac{1,13 \cdot 10^{-4} \cdot 0,035}{6\pi \cdot 0,732^2 \cdot 1,4980 \cdot 10^{-3}}\right)^2 + \left(\frac{1,13 \cdot 10^{-4} \cdot 3,3 \cdot 10^{-6}}{6\pi \cdot 0,732 \cdot (1,4980 \cdot 10^{-3})^2}\right)^2}$$

$$u(\tau_o) = \sqrt{\left(\frac{2,9 \cdot 10^{-7}}{6\pi \cdot 0,2438 \cdot 1,4980 \cdot 10^{-3}}\right)^2 + \left(\frac{1,13 \cdot 10^{-4} \cdot 0,0073}{6\pi \cdot 0,2438^2 \cdot 1,4980 \cdot 10^{-3}}\right)^2 + \left(\frac{1,13 \cdot 10^{-4} \cdot 3,3 \cdot 10^{-6}}{6\pi \cdot 0,2438 \cdot (1,4980 \cdot 10^{-3})^2}\right)^2}$$

$$u(\tau_g) = 2,6 \cdot 10^{-4} \text{ s} = 0,26 \text{ ms}$$

$$u(\tau_o) = 4,9 \cdot 10^{-4} \text{ s} = 0,49 \text{ ms}$$

Ostatecznie czasy relaksacji wynoszą:

- dla gliceryny:  $\tau_g = 5,47(26) \text{ ms}$ ,
- dla oleju silnikowego:  $\tau_o = 16,41(49) \text{ ms}$ .

## 5.5 Porównanie z wartościami tablicowymi $\eta$

Teoretyczna wartość współczynnika lepkości dla gliceryny wynosi  $1,412 [Pa \cdot s]$  dla pomiaru w temperaturze  $20^\circ C$  [3]. Nasz wynik  $\eta_g = 0,732(35) Pa \cdot s$  znacznie odbiega od wartości tablicowej, co może świadczyć o obecności wody w badanej cieczy (obecność wody może znacznie obniżyć współczynnik lepkości) lub innych błędach pomiarowych.

Wartość współczynnika lepkości oleju silnikowego wymaga wyliczenia na podstawie wzoru[4]:

$$\eta_k = \frac{\eta_d}{\rho_c}, \quad (23)$$

gdzie  $\eta_k$  to lepkość kinematyczna wynosząca  $9 \cdot 10^{-4} \frac{m^2}{s}$  [5],  $\eta_d$  to lepkość dynamiczna (przez nas wyliczona),  $\rho_c$  gęstość cieczy. Przykształcając powyższy wzór oraz mając dane  $\eta_k$  i  $\rho_c$  otrzymujemy:  $\eta_d = 9 \cdot 10^{-4} \cdot 867 = 0,7803 [Pa \cdot s]$ . Wyliczona przez nas lepkość wynosi  $\eta = 0,2438(73) Pa \cdot s$ , czyli również znajduje się poza marginesami błędów. Może być to spowodowane przeprowadzeniem eksperymentu z innym rodzajem oleju silnikowego, ponieważ powyższa wartość teoretyczna jest odpowiednia dla oleju silnikowego SAE 20W. Biorąc olej silnikowy ISO 100 (czyli taki który w temperaturze  $40^\circ C$  ma lepkość kinematyczną na poziomie  $100 \frac{mm^2}{s}$ ) odczytujemy z wykresu zależności temperatury od lepkości kinematycznej [4] wartość  $\eta_k = 300 \frac{mm^2}{s}$  i po podstawieniu do wzoru (23) otrzymujemy:

$$\eta_d = 300 \cdot 10^{-6} \cdot 867 = 0,2601 [Pa \cdot s].$$

Ta wartość jest znacznie bliższa otrzymanemu wynikowi.

## 6 Podsumowanie

W ramach ćwiczenia wykonaliśmy pomiary czasu opadania kulki w dwóch cieczach: glicerynie i oleju silnikowym. Na podstawie uzyskanych pomiarów wyliczyliśmy współczynnik lepkości obu cieczy  $\eta$  oraz czasy relaksacji  $\tau$ . Otrzymane wyniki współczynnika lepkości dla gliceryny są niższe od wartości tablicowych (wyliczona wartość:  $\eta_g = 0,732(35) [Pa \cdot s]$ , odczytana wartość:  $\eta_g = 1,412 [Pa \cdot s]$ ) co może być znakiem pracy z roztworem gliceryny, którego lepkość jest znacznie niższa. Lepkość oleju silnikowego jest bardzo bliska wartości teoretycznej równej  $\eta_o = 0,2601 [Pa \cdot s]$ . Czasy relaksacji wyszły rzędu milisekund, więc jest to zgodne z rzeczywistym stanem zjawiska.

## 7 Literatura

### Literatura

- [1] Krystyna Wosińska Piotr Jaśkiewicz. Wyznaczenie współczynnika lepkości cieczy. *Centralne Laboratorium Fizyki*.
- [2] Wikipedia. Prawo stokesa. [https://pl.wikipedia.org/wiki/Prawo\\_Stokesa](https://pl.wikipedia.org/wiki/Prawo_Stokesa), 2025.
- [3] Wikipedia. Glycerol. <https://en.wikipedia.org/wiki/Glycerol>, 2025.
- [4] Sanya Mathura. Oil viscosity: A practical guide.
- [5] Wikipedia. Motor oil. [https://en.wikipedia.org/wiki/Motor\\_oil](https://en.wikipedia.org/wiki/Motor_oil), 2025.

## 8 Wkład poszczególnych osób w wykonanie ćwiczenia:

- 1. Katarzyna Skoczyła: wyznaczenie gęstości kulek, prędkości granicznych i lepkości
- 2. Alicja Przeździecka: wyznaczenie czasów relaksacji, porównanie z wartościami tablicowymi i podsumowanie
- 3. Miłosz Zieliński: cel, wstęp matematyczny i układ pomiarowy